

Mg 還元テルミット法による ZrC 微粉末の合成と生成過程

小林秀彦・下坂建一・金田由久・三田村 孝

埼玉大学工学部応用化学科, 338 浦和市下大久保 255

Preparation and Formation Processes of ZrC Fine Powders by Mg-Thermite Method

Hidehiko KOBAYASHI, Kenichi SHIMOSAKA, Yoshihisa KANEDA and Takashi MITAMURA

Department of Applied Chemistry, Faculty of Engineering, Saitama University, 255, Shimo-ohkubo, Urawa-shi 338

[Received July 1, 1992; Accepted September 22, 1992]

In the ZrO_2 -Mg-CH₄ system, ZrC fine powders have been prepared by two different methods; (1) direct preparation from ZrO_2 and Mg in a CH₄ gas flow and (2) reduction of ZrO_2 with Mg in an Ar flow and subsequent carbonization of the reduced materials in a CH₄ flow. The formation process of the ZrC powders of single phase has also been studied. In the method (1), the appropriate synthesis conditions were Mg/ ZrO_2 molar ratio ≥ 4 , heating temperature $\geq 700^\circ\text{C}$ and heating time = 1 h. In the method (2), on the other hand, the optimum conditions were as follows; Mg/ ZrO_2 molar ratio = 4, and reduction time = 1 h in an Ar flow and carbonization time = 1 h in a CH₄ flow at 800°C . The formation process of ZrC powders in the ZrO_2 -Mg-CH₄ system was as follows: in the case of Mg/ $ZrO_2 \geq 4$ molar ratio, (1) $600^\circ\text{C} \sim$; $ZrO_2 + 2\text{Mg} \rightarrow \alpha\text{-Zr} + 2\text{MgO}$, (2) $650^\circ\text{C} \sim 800^\circ\text{C}$; $3\text{CH}_4 + 2\text{Mg} \rightarrow \text{Mg}_2\text{C}_3 + 6\text{H}_2$, (3) $650^\circ\text{C} \sim 750^\circ\text{C}$; $\alpha\text{-Zr} + \text{H}_2 \rightarrow \delta\text{-ZrH}_2$, (4) $700^\circ\text{C} \sim$; $\text{Mg}_2\text{C}_3 \rightarrow 2\text{Mg} + 3\text{C}$, (5) $750^\circ\text{C} \sim$; $\delta\text{-ZrH}_2 \rightarrow \alpha\text{-Zr} + \text{H}_2$ and (6) $700^\circ\text{C} \sim$; $\alpha\text{-Zr} + \text{C} \rightarrow \text{ZrC}$. Comparison of the two methods (1) and (2) indicated that the former was highly efficient because of an exothermic reaction by the thermite reaction.

Key-words : ZrC, Thermite method, Mg, Carbonization

1. 緒 言

炭化ジルコニウム (ZrC) の粉末合成法としては、高周波あるいは直流と交流プラズマを利用した ZrO_2 と C あるいは C_6H_6 、又は ZrH_2 と C からの気相合成¹⁾、ジルコノセンを用いた MOCVD 法²⁾、Zr 金属蒸気と C によるガス蒸発法³⁾及びシリコーンオイル中の火花放電法⁴⁾などが報告されている。

著者らは既に Mg 還元テルミット法を用いて、 ZrN ^{5)~7)}、 ZrB_2 ⁸⁾、 ZrC ⁹⁾及び HfN ¹⁰⁾粉末の合成を行ってきた。その結果、Mg 還元テルミット法は 1000°C 以下、短時間で微粉末を合成できる利点を有していることが明らかとなった。しかしながら、これまでの研究では Mg 還元テルミット法による非酸化物粉末の生成過程に関する詳細な検討は行わなかった。

本研究ではその一環として、Mg 還元テルミット法による ZrC 微粉末の合成に ZrO_2 -Mg-CH₄ ガスの組み合わせを用いて、(1)CH₄ ガス流通下及び(2)Ar ガス流通下での

テルミット反応と CH₄ ガス流通下での炭化反応を分離した二とおりの実験を行い、単一相の ZrC 粉末の合成条件及び生成過程を調べた。

2. 実験方法

2.1 ZrC 粉末の合成

出発原料には市販の ZrO_2 粉末（東ソ一製、TZ-0、純度 99.9%、粒子径 : 0.1 μm）及び Mg 粉末（高純度化学研究所製、純度 99.9%、粒子径 : 150 メッシュ以下）を、また炭素源には高純度 CH₄ ガス（日本酸素製、純度 99.9%）をそれぞれ用いた。原料粉末を所定の混合モル比 ($Mg/ZrO_2 = 2 \sim 5$) に調製し、めのう乳鉢で十分に混合した。この混合粉末 2 g を黒鉛ボートに充填し、石英製反応管内に挿入した後、Ar ガスで反応管内を十分に置換した。

ZrC 粉末の合成には、次の二とおりの方法を用いた。

(1) 所定モル比に調製した混合粉末を CH₄ ガス流通 (100 cm³/min) 下で、 $700^\circ\text{C} \sim 900^\circ\text{C}$ 、1 h 加熱した後、石英製反応管を水で急冷して生成物を得た（以下、この方法を直接炭化法と略記する）。(2) 所定モル比に調製した混合粉末を Ar ガス流通 (200 cm³/min) 下で、 $700^\circ\text{C} \sim 900^\circ\text{C}$ 、1 h 加熱（還元処理）した後、CH₄ ガス流通 (100 cm³/min) 下に切り替えて、 $700^\circ\text{C} \sim 900^\circ\text{C}$ 、1 h 再加熱（炭化処理）した後、石英製反応管を水で急冷して生成物を得た（以下、この方法を還元・炭化分離法と略記する）。なお、加熱温度の測定及び制御はクロメル-アルメル熱電対と PID 型温度コントローラにより行った。

得られた生成物は 1 M HCl で数回繰り返し酸洗処理して副生成物を除去し、水洗、エタノール洗浄後、遠心分離器を用いて粉末を回収した。

2.2 合成した粉末の評価

生成物中の結晶相の相対強度は粉末法 X 線回折試験により、Al 粉末 (20 wt% 添加) を内部標準物質に用いて、Al の (200) 面、ZrC の (111) 面、 ZrO_2 の (111) 面、 $\alpha\text{-Zr}$ の (101) 面、 ZrH_2 の (111) 面の各回折ピーク面積値から算出した。また、ZrC の格子定数及び平均結晶子径の測定には (111)、(200)、(220)、(311)、(222) 面の回折線を用いた。ZrC 粉末の粒子形態及び粒子径の観察には走査型電子顕微鏡 (SEM) を用い、比表面積は BET 法により測定した。

3. 実験結果

3.1 直接炭化法によるZrC粉末の合成条件

ZrO_2 -Mg-CH₄ガス系からのZrCの粉末合成に関して、著者らは既に(1)式の総括反応が600°C以上の加熱で進行することを明らかにした⁹⁾。ただし、ZrCの生成はCH₄ガス流通(100 cm³/min, 100 vol%)下、Mg/ZrO₂モル比 ≥ 4 , 600°C, 1 h 加熱の条件ではわずかであった。



そこで、Mg/ZrO₂モル比=4としてCH₄ガス流通(100 cm³/min, 100 vol%)下で600~900°C, 1 h 加熱して、ZrCの生成と加熱温度の関係を調べた。その結果を図1に示す。ZrCの生成は加熱温度の上昇とともに700°Cで変曲を示すものの増加し800°C以上では飽和傾向を示した。これに対して、出発原料のZrO₂は加熱温度の上昇とともに減少して700°C以上では認められなかった。

また、図2にはMg/ZrO₂モル比=4で単一相のZrC粉末が合成できた700~900°C, 1 h 加熱した際のZrC粉末

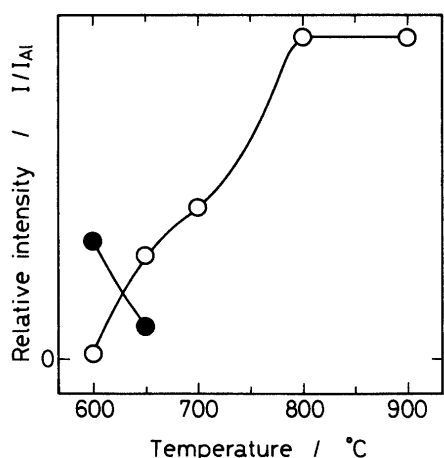


Fig. 1. Change in the relative XRD intensity of products as a function of treatment temperature at Mg/ZrO₂ molar ratio=4 and at the holding time of 1 h in CH₄.
○: ZrC, ●: ZrO₂.

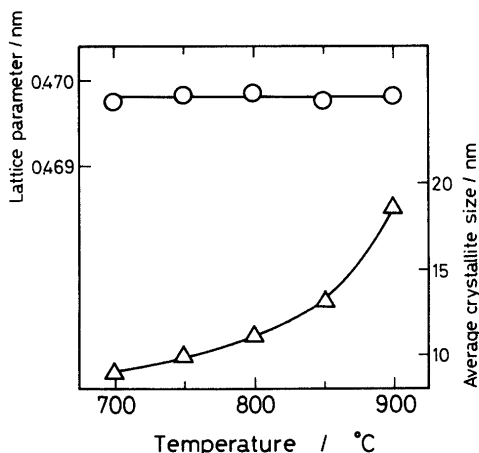


Fig. 2. Variations in lattice parameter and average crystallite size with treatment temperature at the holding time of 1 h in CH₄ and at Mg/ZrO₂ molar ratio = 4.

の格子定数、平均結晶子径と加熱温度の関係を示す。ZrCの格子定数は $a=0.4698$ nmとなり、報告されているZrCの格子定数 $a=0.4687\sim0.4699$ nm^{11)~13)}と一致した。更にZrCの格子定数と組成の関係¹¹⁾から、 α -Zrの炭化は700°C以上の加熱でほぼ完了していることも分かった。また、ZrCの平均結晶子径は加熱温度の上昇とともに大きくなるが、900°Cでも18.5 nmであった。

以上のことから、Mg/ZrO₂モル比=4として直接炭化法を用いた場合の单一相でほぼ化学量論組成のZrC粉末を合成するには700°C以上、1 h の加熱を必要とすることが分かった。

3.2 還元・炭化分離法を用いたZrC粉末の合成条件

ZrO_2 のMgによる還元反応(テルミット反応)とこの反応で生成した α -ZrのCH₄ガスによる炭化を分離した還元・炭化分離法を用いてZrC粉末の合成条件を調べた。

図3にMg/ZrO₂モル比=2~5としてArガス流通(200 cm³/min)下で700°C、1 h 加熱(還元処理)した後、CH₄ガス流通(100 cm³/min)下に切り替えて更に1 h 加熱(炭化処理)した際に得られた生成物とMg/ZrO₂モル比の関係を示す。この還元・炭化分離法での生成物は直接炭化法の場合と異なり、ZrC, δ -ZrH₂(回折ピーク及び格子定数値 $a=0.4781$ nmはJCPDSカードの δ -ZrH₂(立方晶, $a=0.4781$ nm)¹⁴⁾と一致していた)及び α -Zrであった。これらの生成物の増減傾向はMg/ZrO₂モル比の影響を受けていた。ZrCの生成はMg/ZrO₂モル比=3で極大を示し、Mg/ZrO₂モル比 ≥ 4 では認められなかった。 δ -ZrH₂の生成はMg/ZrO₂モル比の増加とともに増加した。 α -ZrはMg/ZrO₂モル比=2及び5で認められた。

そこで、Mg/ZrO₂モル比=4として各生成物と加熱温度の関係を調べた。結果を図4に示す。ZrCの生成は750°C以上で、 δ -ZrH₂の生成は750°C以下で、 α -Zrの生成は850°C以上でそれぞれ認められた。単一相のZrCは800°Cで合成できたが、700°CではZrCは全く生成せずに δ -ZrH₂の単一相となった。

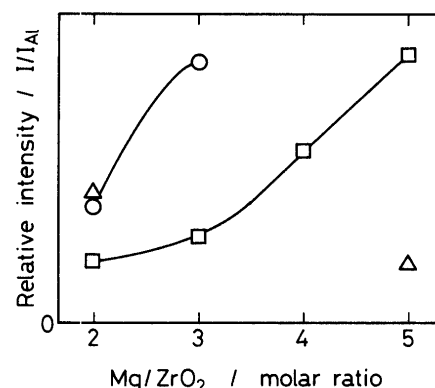


Fig. 3. Relationship between the relative XRD intensity of products and Mg/ZrO₂ molar ratio at 700°C for 1 h in Ar and subsequent in CH₄.
○: ZrC, △: α -Zr, □: δ -ZrH₂.

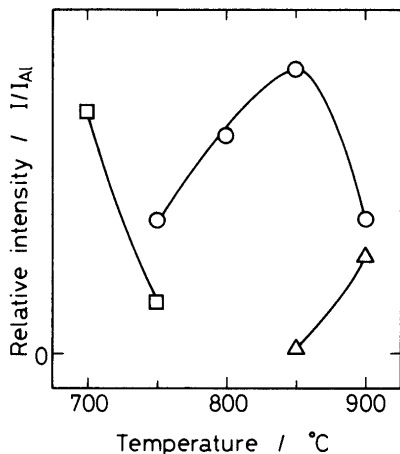


Fig. 4. Change in the relative XRD intensity of products as a function of treatment temperature at Mg/ZrO₂ molar ratio=4 and at the holding time of 1 h in Ar and subsequent in CH₄.
○: ZrC, △: α-Zr, □: δ-ZrH₂.

このδ-ZrH₂の加熱温度に対する増加減少傾向を検討するため、Mg/ZrO₂モル比=4の混合粉末をArガス及びCH₄ガス流通下でそれぞれ700°C, 1 h 加熱して単一相のδ-ZrH₂を合成し、更にArガス流通(200 cm³/min)下で900°C, 1 h 加熱した。得られた生成物は室温で空气中に出したところ自然発火した。発火後の粉末はα-Zr、单斜晶ZrO₂、正方晶ZrO₂及びZrNの混合物であった。これらの生成物は、δ-ZrH₂が900°Cで分解して活性な金属Zrとなり、空気中の酸素及び窒素と反応した結果生成したものと考えられる。したがって、δ-ZrH₂の生成が800°C以上で認められないのは(2)式の反応でα-ZrとH₂に分解されるためである。



還元・炭化分離法を用いたZrC粉末の合成実験から、ZrO₂-Mg-CH₄ガス系ではMgテルミット反応によるZrO₂からのα-Zrの生成反応と系内に過剰に存在するMgによるCH₄ガスの分解反応が共存するために、ZrCとδ-ZrH₂が生成したと考えられる。

CH₄ガス流通下でのZrCとδ-ZrH₂の生成についての知見を得るために、Mg/ZrO₂モル比=4としてArガス流通下で800°C, 1 h 加熱(還元処理)した後、CH₄/(CH₄+Ar)=25~100 vol%の混合ガス流通下で還元処理と同一の加熱条件で炭化処理を行った。図5にCH₄ガス濃度と各生成物及びZrCの格子定数の関係を示す。生成相はZrCのほかに、α-ZrがCH₄ガス濃度25 vol%で、ZrC_{0.32}H_{1.20}¹⁵⁾が25~50 vol%でそれぞれ認められた。ZrCの格子定数は25 vol%で $a=0.4691\text{ nm}$ であり、50~100 vol%で $a=0.4695\sim0.4697\text{ nm}$ であった。C/Zr原子比に対する格子定数と相状態図の関係¹¹⁾からは、ZrCの格子定数 $a=0.4691\text{ nm}$ 以下ではZrCのほかにα-Zrが共存する可能性が示唆されるが、 $a=0.4693\text{ nm}$ 以上では単一相のZrCであり、実験結果と一致していた。また、CH₄ガス濃度25 vol%と50 vol%で同定されたZrC_{0.32}H_{1.20}は還元・炭化分離法を用いていることから、δ-ZrH₂が炭化されて

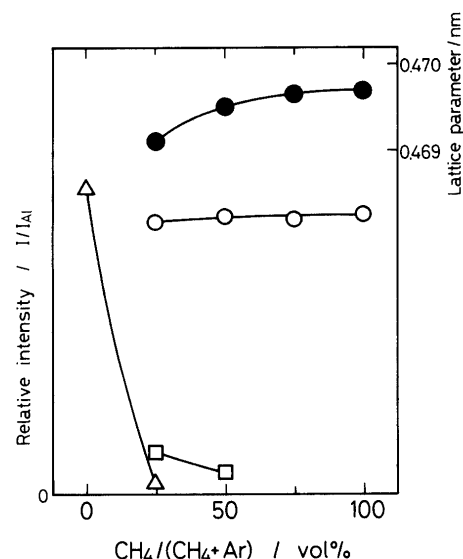


Fig. 5. Variations in the relative XRD intensity of products and lattice parameter with CH₄/(CH₄+Ar) vol% at Mg/ZrO₂ molar ratio=4 and at 800°C for 1 h.
○, ●: ZrC, △: α-Zr, □: ZrC_{0.32}H_{1.20}.

生成したものと考えられる。

以上のことから、還元・炭化分離法を用いた場合の単一相でほぼ化学量論組成のZrC粉末の合成条件としては、Mg/ZrO₂モル比=4, Arガス及びCH₄ガス流通下でそれぞれ800°C, 1 h の加熱が適切であった。また、CH₄ガス濃度を低くするとα-Zrの残存とZrC_{0.32}H_{1.20}の生成が認められることから、α-Zrあるいはδ-ZrH₂の炭化にはCH₄ガス濃度の下限が存在することが分かった。

3.3 ZrC粉末の特性

直接炭化法及び還元・炭化分離法で合成した単一相のZrC粉末の合成条件と格子定数、平均結晶子径及び比表面積値を表1にまとめて示す。格子定数は合成方法及び合成条件に関係なく $a=0.4697\sim0.4698\text{ nm}$ であった。平均結

Table 1. Synthesis condition, lattice parameter, average crystallite size and specific surface area by BET method for the synthesized ZrC powders.

Synthesis condition	Lattice parameter (nm)	Average crystallite size (nm)	Specific surface area by BET method (m ² /g)
(a) Direct method			
(1) Mg/ZrO ₂ =4 800°C, 1h in CH ₄	0.4698	11.8	32.9
(2) Mg/ZrO ₂ =4 900°C, 1h in CH ₄	0.4698	18.5	18.8
(3) Mg/ZrO ₂ =5 800°C, 1h in CH ₄	0.4698	14.2	39.5
(4) Mg/ZrO ₂ =5 900°C, 1h in CH ₄	0.4698	25.6	14.2
(b) Separation method			
Mg/ZrO ₂ =4 1st stage; 800°C, 1h in Ar 2nd stage; 800°C, 1h in CH ₄	0.4697	10.6	40.1

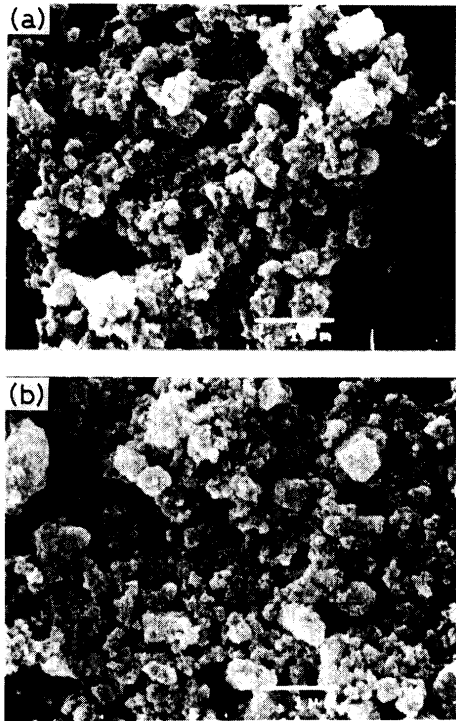


Fig. 6. SEM photographs of ZrC powders.
Starting powder mixture: Mg/ZrO₂ molar ratio=4.
(a) Direct method
Treatment conditions: 800°C, 1 h in CH₄.
(b) Separation method
Treatment conditions: 1st stage 800°C, 1 h in Ar, 2nd stage 800°C, 1 h in CH₄.

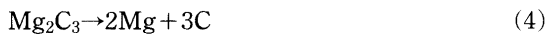
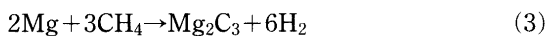
晶子径及び比表面積値は合成方法には無関係で加熱温度の影響を受けていた。図6(a)及び(b)に直接炭化法及び還元・炭化分離法で合成したZrC粉末のSEM写真を示す。(a)及び(b)ともに微粉末であるが凝集が見られた。観察された粉末の粒子形態及び粒子径には合成方法による相違は認められなかった。

4. 考 察

4.1 Mg₂C₃の生成と役割

ZrO₂-Mg-CH₄ガス系を用いたMg還元テルミット法によるZrC粉末の合成過程においても、Mg金属はZrN及びZrB₂の粉末合成の場合と同様^{7),8)}にMg化合物を生成すると考えられる。

Hajekら¹⁶⁾は、Mg₂C₃の生成及び分解反応は(3)及び(4)式で表され、(3)式の最適な反応温度はCH₄ガス流通下では760°Cであり、また(4)式に従ったMg₂C₃の分解反応も700~800°Cで起こることを報告している。



そこで、上述した(3)及び(4)式の反応を確認するために、Mg粉末をCH₄ガス流通(100 cm³/min)下で700°C及び800°Cで1h加熱した。Arガス置換したグローブボックス内で得られた生成物に流動パラフィンを塗布してXRDにより生成相を調べたところ、700°CではMg₂C₃の生成が確認されたが、800°CではMgの炭化物は認められ

ず、Hajekらの結果と一致した。なお、700°Cで生成したMg₂C₃(200)面の回折ピーク面積はMg(200)面の回折ピーク面積を基準にすると14/100であった。また、加熱温度に対するZrCの生成が図1に示したように700°Cで変曲をもつこと、CH₄の熱分解には1000°C以上を必要とするここと及び上述した実験結果を考慮すると、加熱温度700°Cでは炭素源のCH₄ガスとMgの反応((3)式)が進行している。つまり、ZrO₂-Mg-CH₄ガス系ではCH₄がMgにより(3)式の反応に従って分解してMg₂C₃を生成し、ほぼ同時にMg₂C₃の分解((4)式)も起こる。800°C以上ではMgの蒸発が加熱温度の上昇とともに激しくなる(Mgの蒸気圧¹⁷⁾は800°Cで3.2 kPa, 900°Cで11.9 kPa)ため、後者の反応とMgの蒸発が優先することにより前者の反応は進行しにくくなる。したがって、高温においてはテルミット反応((5)式)で生成したα-Zrの炭化反応が促進されることになる。なお、(5)式の反応でα-Zrの単一相を得るには700°C以上、1h加熱の条件でMg/ZrO₂モル比>2となることを確認した。



本研究で還元金属に用いたMgは(5)式の反応のほかに、(3)式の反応にも関与していることが分かった。このようなMgの役割と(5)式の反応の発熱を利用することにより、ZrCは600°C以上で生成するが、単一相のZrC合成には化学量論組成比(Mg/ZrO₂モル比=2)より過剰量のMgを必要とする。

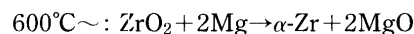
4.2 ZrC粉末の生成過程

ZrO₂-Mg-CH₄ガス系でのZrC生成反応過程としては、前節に記述したように還元金属のMgが700°Cで(5)式のテルミット反応を完了させ、700°C付近から過剰量のMgが(3)式でMg₂C₃と6H₂を生成するとともに、生成したMg₂C₃の分解反応も(4)式に従って進行する。このために、CH₄ガス流通下、700°C以上ではα-Zrの炭化と水素化が並行して起こり、ZrCとδ-ZrH₂が生成する。ただし、δ-ZrH₂は750°C以上で(2)式に従って分解し始める。

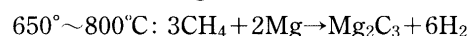
上述したα-Zrの炭化と水素化反応を調べるために、Mg/ZrO₂モル比=4としてArガス流通下で800°C、1h加熱した後、更にCH₄ガス流通下で0.5h及び1h加熱した。その結果、前者の場合にはZrCとδ-ZrH₂の生成が認められ、後者ではZrCの単一相となった。このことから、δ-ZrH₂とZrCの生成は並発反応となっていることが確認できた。

以上のことから、ZrO₂-Mg-CH₄ガス系からのZrC粉末の生成過程は、Mg/ZrO₂モル比≥4の場合には次のようにまとめられ、総括反応は3.1節に既述した(1)式で表される。

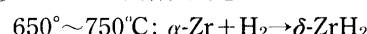
① Mg テルミット反応



② CH₄ガスのMgによる分解反応



③ α-Zr の水素化反応



(4) Mg₂C₃ の熱分解反応
700°C~: Mg₂C₃→2Mg+3C

(5) δ-ZrH₂ の熱分解反応
750°C~: δ-ZrH₂→α-Zr+H₂

(6) ZrC の生成反応
700°C~: α-Zr+C→ZrC

しかしながら、Mg/ZrO₂ モル比≤3 の場合では上記の ZrC 粉末の生成過程だけでは図 3 の結果を説明することはできない。恐らく、Mg/ZrO₂ モル比≤3 では上記の生成過程(2)において、CH₄ と Mg の反応で生成する MgC₂ (約660°Cで分解して Mg₂C₃ となる¹⁸⁾)の生成及び Mg₂C₃ への分解反応を考慮する必要があると推測している。

また、ZrC 粉末合成の観点から直接炭化法と還元・炭化分離法を比較すると、前者では①の反応の発熱が利用できるため実験結果では600°C以上で ZrC の生成が認められ、单一相の ZrC は700°C以上で合成できた。これに対して、後者では①の反応と②~⑥の反応を分離しているために、②の反応の開始とともに①の反応で生成した α-Zr の水素化反応(③)が優先する。この③の反応は非常に速い¹⁹⁾ことが知られている。このために、Mg₂C₃ の分解反応がほとんど進行しない700°Cでは単一相の δ-ZrH₂ となり、单一相の ZrC の合成には800°Cを必要とした。したがって、本研究で取り扱った ZrO₂-Mg-CH₄ ガス系での Mg 還元テルミット法による ZrC 粉末の合成には、直接炭化法の方がテルミット反応の発熱を ZrC の合成反応に利用できるため優れており、また ZrC の生成過程での副反応(δ-ZrH₂ の生成)を抑制する働きもあることが明らかとなつた。

5. 結 言

ZrO₂-Mg-CH₄ ガス系を用いた Mg 還元テルミット法による ZrC 粉末の合成条件と生成過程を調べ、次のような知見を得た。

(1) 直接炭化法による単一相の ZrC 粉末の合成条件は、Mg/ZrO₂ モル比≥4、加熱温度≥700°C、加熱時間 1 h であった。

(2) 還元・炭化分離法による単一相の ZrC 粉末の合成条件は、Mg/ZrO₂ モル比=4、Ar ガス及び CH₄ ガス流通下にて加熱温度800°Cでそれぞれ還元時間 1 h、炭化時間 1 h となつた。

(3) ZrO₂-Mg-CH₄ ガス系を用いた Mg 還元テルミッ

ト法による ZrC 粉末の生成過程は、Mg/ZrO₂ モル比≥4 の場合には、

- ① 600°C~: ZrO₂+2Mg→α-Zr+2MgO
- ② 650°~800°C: 3CH₄+2Mg→Mg₂C₃+6H₂
- ③ 650°~750°C: α-Zr+H₂→δ-ZrH₂
- ④ 700°C~: Mg₂C₃→2Mg+3C
- ⑤ 750°C~: δ-ZrH₂→α-Zr+H₂
- ⑥ 700°C~: α-Zr+C→ZrC

の反応で構成されていた。

(4) 直接炭化法と還元・炭化分離法を比較すると、前者の方がテルミット反応の発熱が ZrC の合成反応に利用できるため優れていた。また、ZrC の生成過程での副反応(δ-ZrH₂ の生成)を抑制する働きもあった。

(1992年5月 日本セラミックス協会年会において発表)

文 献

- 1) 斎藤進六監修、近藤次郎、久保 純、『超微粒子ハンドブック』、フジ・テクノシステム (1990) pp. 454-63.
- 2) H. Lang and D. Seyferth, *Appl. Organomet. Chem.*, 4, 599-606 (1990).
- 3) 安藤義則、応物, 50, 153-54 (1981).
- 4) 佐野利夫、金子泰成、電気化学, 60, 63-64 (1992).
- 5) T. Ikeda, T. Mori, T. Iida and T. Mitamura, *Yogyo-Kyokai-Shi*, 93, 108-09 (1985).
- 6) 池田 勉、森 利之、野口文雄、飯田武揚、三田村 孝、窯協, 93, 505-10 (1985).
- 7) 小林秀彦、加藤巳幸、神山美英、三田村 孝、セラミックス論文誌, 99, 508-13 (1991).
- 8) 小林秀彦、加藤巳幸、神山美英、三田村 孝, *J. Ceram. Soc. Japan*, 100, 172-77 (1992).
- 9) 山根健二、木田伸一、森 利之、飯田武揚、三田村 孝、粉体工学会誌, 23, 665-70 (1986).
- 10) 小林秀彦、下坂建一、三田村 孝, *J. Ceram. Soc. Japan*, 100, 1338-42 (1992).
- 11) L. Ramqvist, *Jernkont. Ann.*, 153, 159-79 (1969).
- 12) L. N. Grossman, *J. Am. Ceram. Soc.*, 46, 457-58 (1963).
- 13) D. K. Smith and C. F. Cline, *J. Am. Ceram. Soc.*, 46, 566 (1963).
- 14) JCPDS, Powder Diffraction Data, 34-709.
- 15) R. A. Andrievskii, E. B. Boiko and V. P. Kalinin, *Soviet Phys. Cryst.*, 12, 930-31 (1968).
- 16) B. Hajek, P. Karen and V. Brozek, *Collection Czechoslovak Chem. Commun.*, 48, 1963-68 (1983).
- 17) 日本化学会編、『化学便覧 基礎編II』、丸善 (1984) p. II-113.
- 18) B. Hajek, P. Karen and V. Brozek, *Collection Czechoslovak Chem. Commun.*, 48, 1969-76 (1983).
- 19) 日本化学会編、『化学便覧 基礎編II』、丸善 (1984) p. II-429.